



MC-11023.) Micropliegues de tipo chevron afectando a la foliación de fase 2 hercínica. Granito de dos micas muy deformado ( $d_x \gamma^2$ ).



MC-1024.) Idem anterior



MC-1029.) Micropliegues de fase 2  
hercínica en el Ortoneis ( $N_{\gamma n}^1$ ).



MC-1037.) Filón pegmatítico que des-  
plaza a otro más fino, dentro del --  
granito de dos micas ( macizo de ---  
Friol) ( $d_{\gamma_{mb}^2}$ )



MC-1049.) Pliegues de fase 2 hercínica en el microconglomerado de la base (q) de las pizarras y esquistos grises ( $O_1p$ ).



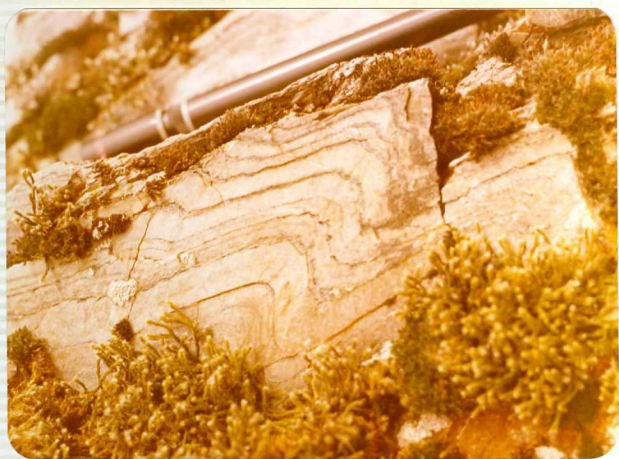
MC-1050.) Refracción de la esquistosidad en unas intercalaciones cuarcíticas de las pizarras y esquistos grises ( $O_1p$ ).



MC-1051.) Detalle de la anterior.



MC-1053.) Pliegues tardíos marcados por filones de cuarzo, en las pizarras y esquistos grises ( $O_1p$ ).



MC-1056.) Pliegues de fase 2 hercínica en niveles cuarcíticos intercalados en las pizarras y esquistos grises ( $O_1p$ ).



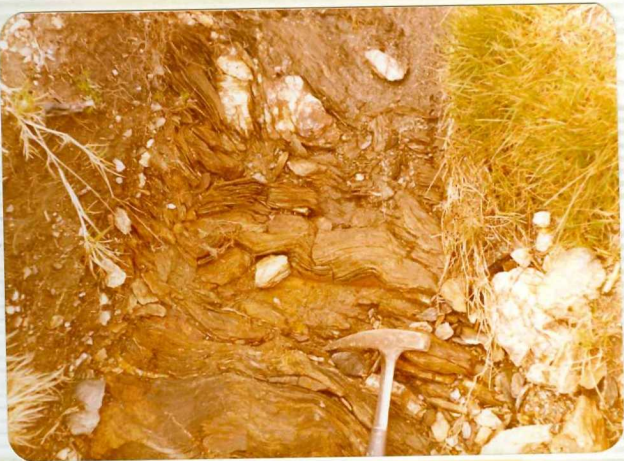
MC-1057.) Idem anterior.



MC-1058.) Pliegues de fase 1 hercínica en las cuarcitas y areniscas superiores ( $O_1q$ ).



MC-1059.) Pliegues tardios en las cuarcitas y arenisca (q) de la base de las pizarras y esquistos grises ( $O_1p$ ).



MC-1061.) Pliegues de tipo chevron.  
Pizarras y esquistos grises ( $O_1p$ ).



MC-1072.) Lineación de intersección  
 $S_1-S_2$ . Esquistos de Ordenes (PC-CA).



MC-1073.)  $S_1$  y  $S_2$  en los esquistos  
de Ordenes (PC-CA).



MC-1077.) Esquistosidad de fractura  $S_2$  afectando a  $S_1$ . Esquistos de Ordenes (PC-CA).



MC-1078.) Micropliegues de  $S_2$  sobre  $S_1$ . Esquisto de Ordenes (PC-CA).



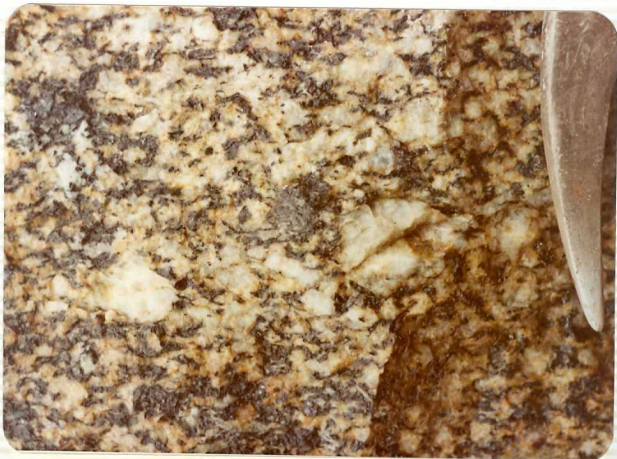
MC-1079.) Micropliegue de fase 1 hercínica en los esquistos de Ordenes (PC-CA).



MC-1080.) Kink-bands verticales en los esquistos de Ordenes (PC-CA).



MC-1083.) Deformación en el Ortoneis  
( $\delta_{N\gamma n^1}$ ).



MC-1084.) Detalle de la anterior.  
Feldespatos amoldandose a la foliación.



MC-1085.) Deformación intensa del  
Ortoneis ( $N_{\gamma\eta}^1$ ).



MC-1086.) Deformación muy intensa  
del Ortoneis, ( $\frac{b}{N} \gamma n^1$ ).

MC-1087.) Kink-bands y pliegues de tipo chevron en el "Ollito de Sapo" de grano fino (PCw).





MC-1090.)  $S_2$  crenulado a  $S_1$ . Pizarras  
y esquistos grises ( $O_1p$ ).



MC-1091.) Pliegues de fase 2 en filones de cuarzo. Pizarras y esquistos grises ( $O_1p$ ).



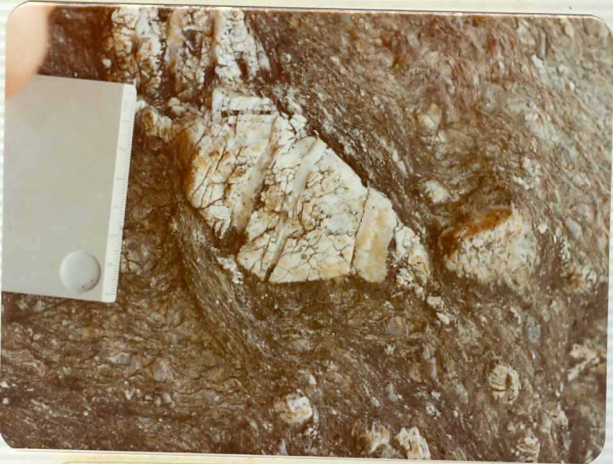
MC-1096.) Megacrystal de feldespato roto durante la deformación "Olló de Sapo" de grano grueso (PCζ).



MC-1097.) Fibras de crecimiento de cuarzo formadas aprovechando una grieta de tensión de un feldespatos. "Ollito de Sapo" de grano grueso (PCζ).



MC-1098.) Idem anterior.



MC-1099.) *Idem* anterior.



MC-1103.) Deformación intensa en el  
Ortoneis ( $D_{N\gamma\eta^1}$ ).

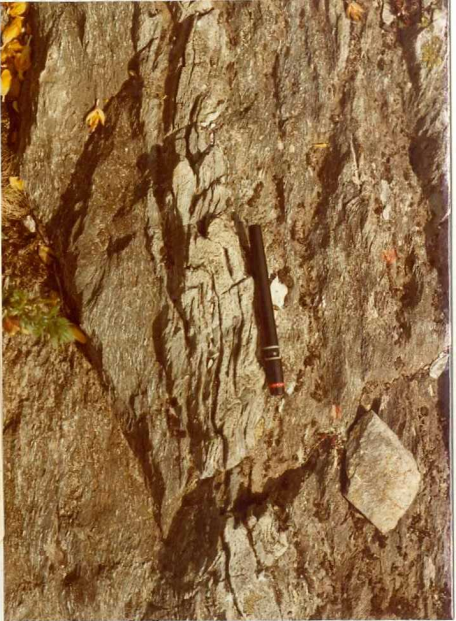
A photomicrograph showing a central, elongated, light-colored quartz vein (filón) surrounded by a darker, more granular matrix. The vein exhibits some internal fracturing and is embedded within a matrix of fine-grained material. A geological hammer is visible in the lower right corner for scale.

MC-1117.) Filón de cuarzo boudinado dentro del "Olló de Sapo" de grano fino (PCw).



MC-1118.) Crenulación de  $S_1$  en las pizarras y esquistos grises ( $O_1p$ ).

MC-1129.) Micropliegues de fase 2 en  
las cuarcitas y areniscas (q) de la  
base del Ordovícico inferior.





MC-1130.) S<sub>1</sub> y micropliegues de fase 1 en las cuarcitas y areniscas (q) de la base del Ordovícico inferior.



MC-1131.) Idem anterior.



MC-1133.) Micropliegue en las rocas máficas (Γ).



MC-1135.) Pliegues en las rocas má-  
ficas (Γ).



MC-1136.) Pliegue suave en las rocas máficas ( $\Gamma$ ).



MC-1137.) Pliegue plegado en las rocas máficas ( $\Gamma$ ).



MC-1138.) Idem anterior.



MC-1139.) Idem anterior.



MC-1143.) Idem anterior.